

# بهبود عملکرد لرزمای اتصال گیردار تیر به ستون با استفاده از میراگر شکافدار فولادی اصلاح شده

جواد حسن‌زاده<sup>۱</sup>، سید رضا سرافرازی<sup>۲</sup>، محسن خطیبی‌نیا<sup>۳\*</sup>

- ۱- دانش آموخته کارشناسی ارشد عمران، سازه، دانشگاه بیر جند
- ۲- استادیار گروه مهندسی عمران، دانشگاه بیر جند
- ۳- دانشیار گروه مهندسی عمران، دانشگاه بیر جند

\*m.khatibinia@birjand.ac.ir

تاریخ دریافت: ۹۸/۱۰/۱۳ تاریخ پذیرش: ۹۹/۱۰/۲۳

## چکیده

میراگر شکافدار فولادی تسلیم شونده در اتصالات سازه‌های فولادی باعث استهلاک انرژی ورودی لرزمای از طریق ایجاد تغییر شکل‌های پلاستیک می‌شود و از صدمات مخرب به المان‌های اصلی سازه (تیر و ستون) جلوگیری می‌کند. شکل شکاف‌ها در این میراگر نقش زیادی در بهبود شکل پذیری و عملکرد لرزمای رفتار قاب‌های خمی فولادی دارد. در این مطالعه، شکل هندسی جدیدی برای شکاف‌ها در این میراگر به منظور بهبود رفتار میراگر و اتصالات گیردار قاب‌های خمی فولادی ارائه شده است. به منظور بررسی عملکرد این میراگر پیشنهادی، رفتار یک اتصال گیردار با میراگر شکافدار رایج و میراگر پیشنهادی تحت بارگذاری چرخه‌ای و بار افزون در نرم‌افزار اجزای محدودی آباکوس ارزیابی شده است. نتایج ارزیابی‌ها نشان می‌دهد کاهش عرض شکاف‌های میراگر در دو انتهای شکاف و عریض شدن قسمت میانی شکاف‌ها (نوارها) در میراگر پیشنهادی، عملکرد بهتری را نسبت به نمونه رایج دارد. به گونه‌ای که میراگر شکافدار پیشنهادی با وزن یکسان نسبت به نمونه رایج آن تحت برش خالص، ۴۱ درصد جذب انرژی بیشتری دارد. همچنین استفاده از آن در زیر بال اتصال گیردار تیر به ستون تحت بارگذاری چرخه‌ای، باعث افزایش ۵۱/۸ درصدی اتلاف انرژی نسبت به نمونه رایج شده است. بنابراین عملکرد میراگر شکافدار پیشنهادی تحت برش به گونه‌ای است که ابتدا، قسمت میانی نوارها مانند فیوز عمل کرده و شکل پذیری مناسبی را فراهم می‌کند. سپس بیشترین تنش‌ها به قسمت مستقیم بالایی و پایینی نوارهای میراگر انتقال یافته و به علت توزیع تنش در سطح بیشتری از شکاف‌ها، مقاومت نهایی میراگر و اتصال افزایش می‌یابد.

**واژگان کلیدی:** میراگر شکافدار فولادی، شکل هندسی، استهلاک انرژی، اتصال گیردار

۱. مقدمه  
ارزیابی لرزمای ساختمان‌های فولادی تخریب شده در زلزله‌های شدید مانند نورث‌ریچ و کوبه نشان داد که ظرفیت استهلاک

بود. همچنین استهلاک انرژی و تغییرشکل پلاستیک فقط در میراگرهای شکافدار متتمرکز شده و از تغییرشکل غیرالاستیک تیر و ستون جلوگیری شده است [4]. به منظور بهبود عملکرد میراگر شکافدار فولادی، قبرایی و همکارانش از روش بهینه‌سازی سازه‌ای تکاملی دو جهته (BESO<sup>۱</sup>) برای یافتن شکل هندسی بهینه میراگر استفاده کردند. نتایج نشان داده است که نمونه بهینه‌شده نسبت به نمونه اولیه، ۳۷ درصد استهلاک انرژی بیشتری داشته است [5]. خوشنودیان و کیانی عملکرد میراگر شکافدار فولادی را در یک سازه فولادی ۱۰ طبقه توسط تحلیل تاریخچه زمانی غیرخطی بررسی کردند. نتایج پژوهش نشان داده است افزودن تعداد میراگرها در طبقات تا یک حد معین در بهبود پاسخ سازه مؤثر بوده است [6]. در پژوهش آزمایشگاهی توسط کوکن و کروگلو، سه اتصال معمولی، تقویت‌شده و مجهز به میراگر شکافدار را بررسی شدند. نتایج نشان داد که در اتصال مجهز به میراگر شکافدار، تمام تغییرشکل‌های پلاستیک را میراگر جذب نموده و این در حالی است که امکان تعمیر اتصال پس از زلزله وجود دارد [7]. یک طراحی لرزه‌ای بر مبنای کمترین خرایی برای ساختمانهای فولادی توسط کاراواسیلیس و همکارانش ارائه شد. نتایج این ارزیابی نشان داد که ترکیب همزمان میراگرهای ویسکوز و میراگرهای شکافدار فولادی در قاب‌های خمشی فولادی می‌تواند تغییر مکانهای نسبی در سازه را به صورت همزمان کاهش دهد [8]. به منظور افزایش شکل‌پذیری اتصالات خمشی، صفاری و همکارانش اتصالات با میراگرهای شکافدار را بررسی کردند. آن‌ها یک مطالعه پارامتری با استفاده از روش المان محدود روی هندسه میراگرهای شکافدار با درنظر گرفتن نسبت‌های طراحی برای طول و عمق تیر انجام دادند و بهترین پارامترهای طراحی برای دستیابی به شکل‌پذیری موردنظر اتصال پیشنهاد شده است [9]. در یک پژوهش دیگر توسط هدایت، پیش‌بینی لحظه شکست میراگر فلزی جاری شونده کمانش‌ناپذیر بررسی شد. به این منظور، شش نمونه از میراگرهای فلزی تسلیم شونده که در آزمایشگاه تحت بررسی قرار گرفته و به صورت عددی مدل‌سازی شدند. نتایج حاصل از پژوهش نشان داد که معیار کرنش پلاستیک تجمعی می‌تواند معیار خوبی برای تخمین لحظه شکست میراگر باشد [10].

تأمین شده به وسیله تشکیل مقاصل پلاستیک در تیرها و ستون‌ها برای زلزله‌های بزرگ کافی نبوده است. پس نیاز به تقویت و افزایش شکل‌پذیری در محل اتصالات تیر به ستون و در محل بادبندها بیش از پیش احساس شد [1]. به منظور استفاده بی‌وقفه از ساختمانهای مهم پس از زلزله‌های طراحی، ترجیح داده می‌شود که خرابی در المان‌های مستهلك‌کننده انرژی که رفتار هیسترزیس مناسبی نشان می‌دهند، محدود شود. از جمله سیستم‌های مستهلك‌کننده انرژی، میراگرهای فلزی تسلیم‌شونده هستند که با استهلاک انرژی و جذب تغییرشکل‌های پلاستیک در خود، مانع از آسیب رسیدن به اجزای اصلی سازه‌ای می‌شوند. یکی از انواع میراگرهای فلزی تسلیم‌شونده، میراگرهای شکافدار فولادی هستند که در سال‌های اخیر به عنوان منبع استهلاک انرژی در محل اتصال بادبند به تیر طبقات و اتصال گیردار تیر به ستون در سازه‌های فولادی استفاده می‌شوند.

وادا و همکارانش در سال ۱۹۹۷ میلادی، مطالعات آزمایشگاهی روی میراگر شکافدار فولادی شامل یک ورق فولادی با تعدادی شکاف‌های عمودی، انجام دادند. آن‌ها میراگر پیشنهادی را در یک ساختمان ۲۶ طبقه در ژاپن استفاده کردند که موجب جذب ۴۸ درصدی انرژی ورودی لرزه‌ای، توسط این میراگر شد [1]. سال ۲۰۰۲ میلادی، لی و همکارانش برای جلوگیری از کمانش بادبندها و جذب انرژی لرزه‌ای، از میراگر شکافدار فولادی در محل اتصال بادبندها به تیر استفاده کردند. نتایج پژوهش آن‌ها نشان داد که میراگر شکافدار فولادی در معرض نیروهای برشی، رفتار هیسترزیس پایداری داشته است [2]. نوع دیگری از میراگر شکافدار فولادی توسط چان و آلبمانی به صورت استفاده از یک مقطع بالپهن استاندارد همراه با تعدادی شکاف برش شده در جان مقطع معرفی شد. نتایج نشان داد که میراگر شکافدار فولادی رفتار بسیار پایدار هیسترزیس با انتقال تدریجی از حالت الاستیک به پلاستیک داشته است [3]. سال ۲۰۰۹ میلادی، او و همکارانش به منظور رفع مشکل ضعف اتصال تیر به ستون قاب‌های خمشی فولادی در برابر زلزله، اتصال سازه‌ای جدیدی را مجهز به میراگرهای شکافدار فولادی پیشنهاد کردند. نتایج آزمایش نشانگر بهبود رفتار هیسترزیس اتصال مجهز به میراگر شکافدار فولادی

انرژی میراگر پیشنهادی در مقایسه با میراگرهای موجود از افزایش قابل توجهی برخوردار است.

## ۲. میراگر شکافدار فولادی

میراگر شکافدار فولادی شامل یک ورق با تعدادی شکاف بریده شده در جان آن است که تحت تغییر شکل های نسبی کوچک بین دو بال تکیه گاهی، تغییر شکل می دهند [3]. در میراگر شکافدار فولادی نوارهایی که بین شکافها قرار دارند، تغییر شکل های غیرالاستیک را جذب کرده و با تشکیل مفاصل پلاستیک، موجب استهلاک انرژی ورودی زلزله می شود و از تمرکز خسارت و خرابی در اتصال تیر به ستون جلوگیری می کند. طبق پژوهش های صورت گرفته توسط لی و همکارانش [2]، برای پیش بینی مقاومت تسليیم و جایه جایی تسليیم میراگر شکافدار فولادی، نوارهای میراگر شکافدار مطابق شکل (۱)، ایده آل سازی شده است.

شکل ۱. میراگر شکافدار فولادی [2]

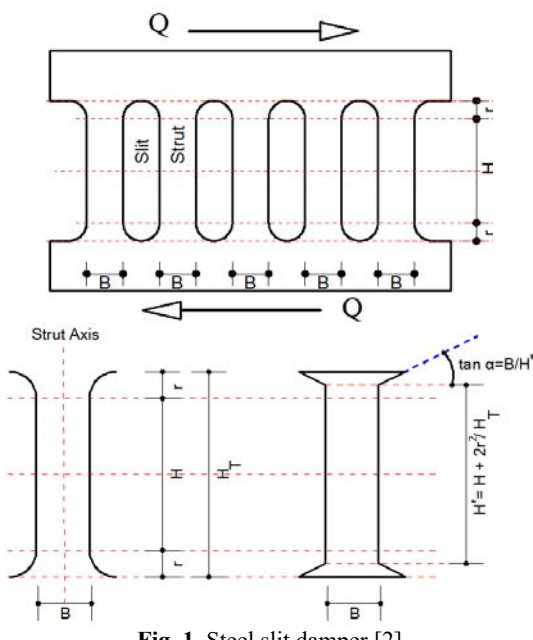


Fig. 1. Steel slit damper [2]

مقاومت تسليیم میراگر شکافدار فولادی طبق رابطه (۱) و مقاومت نهایی آن با رابطه (۲) قابل محاسبه است [2]:

$$P_y = \min \left\{ n \frac{\sigma_y t B^2}{2H'}, n \frac{2\sigma_y t B}{3\sqrt{3}} \right\} \quad (1)$$

$$P_u = \min \left\{ n \frac{\sigma_u t B^2}{2H'}, n \frac{2\sigma_u t B}{3\sqrt{3}} \right\} \quad (2)$$

تاگوا و همکارانش یک سیستم پیشنهادی مهاربندی متشکل از میراگر شکافدار فولادی را ارائه کردند. در ابتدا، چگونگی محاسبه سختی جانبی و مقاومت این سیستم مهاربندی همراه با میراگر شکافدار فولادی مطرح شد و درنهایت نیز یک مدل سه خطی هیسترزیس برای پیش بینی رفتار این سیستم ارائه نمودند [11]. میراگر فلزی جدیدی تحت عنوان میراگر شکافدار بلوکی توسط احمدیه امیری و همکارانش ارائه شد که از ظرفیت برآشی بالایی برخوردار است. در این پژوهش، نخست با استفاده روابط تئوری به محاسبه پارامترهای مهم ابعادی این میراگر پرداختند و سپس برای بررسی رفتار چرخه ای سیستم پیشنهادی، ۵ نمونه با نسبت های عرض و ارتفاع مختلف آزمایش شد [12]. بیات و شکسته بند به بررسی عملکرد اتصال صلب به همراه میراگر شکافدار فولادی T شکل پرداختند. روش المان محدود غیرخطی برای مدل سازی استفاده، و تمام جنبه های رفتاری شامل مقاومت، استهلاک انرژی، شکل پذیری و تنفس فون میسز محاسبه ارزیابی شد [13].

شکل شکافها در میراگر شکافدار فولادی نقش زیادی در رفتار و عملکرد آن دارد، بطوریکه در شکل رایج آن، تمرکز تنش و شکست در انتهای میان شکافها (نوارها) اتفاق می افتد. پس یافتن یک شکل هندسی مناسب شکافها برای این میراگر می تواند در جذب انرژی ورودی لرزه ای و جلوگیری از ایجاد خسارت در اتصالات گیردار قاب های فولادی، به عنوان یک چالش اساسی در پژوهشی پژوهشگران بوده است. از این رو هدف اصلی این پژوهش، پیشنهاد یک شکل هندسی مناسب برای میراگر شکافدار فولادی به منظور دستیابی به عملکرد بهتر نسبت به نمونه های رایج آن است. برای این منظور، شکل شکافها بطور مناسبی اصلاح شده در حالیکه وزن میراگر پیشنهادی با نمونه های رایج یکسان است. در ادامه برای بررسی عملکرد میراگر شکافدار پیشنهادی، ابتدا رفتار میراگرهای پیشنهادی تحت بارافزون در نرم افزار آباکوس با یک نمونه رایج آن مقایسه شده است و بهترین شکل شکاف مشخص شده است. سپس عملکرد اتصال گیردار فولادی مجهر به بهترین نوع میراگر پیشنهادی با میراگر شکافدار رایج، تحت بار چرخه ای از نظر مقاومت (حد تسليیم و نهایی) و جذب انرژی مقایسه شده است. نتایج نشان می دهد که مقاومت و ظرفیت جذب

است. واحد کمیت‌های ورودی و نتایج خروجی در نرم‌افزار آباکوس به صورت جدول (۱)، در نظر گرفته شده است.

جدول ۱. واحدهای مفروض برای کمیت‌های مختلف در نرم‌افزار آباکوس

| quantity | Unit | quantity | Unit              |
|----------|------|----------|-------------------|
| length   | Mm   | time     | s                 |
| force    | N    | stress   | N/mm <sup>2</sup> |
| mass     | Kg   | energy   | KJ                |

Table. 1. The units used for various quantities in ABAQUS software

### ۱-۳- درستی آزمایی مدل سازی نمونه ۲ D0300-2

در این بخش، درستی آزمایی مدل سازی میراگر شکافدار در نرم‌افزار با میراگر شکافدار ۲ D0300-2 [۲] ارائه شده است. ابعاد میراگر شکافدار ۲ D0300-2 در شکل (۳) نشان داده شده است.

شکل ۳. ابعاد هندسی میراگر شکافدار ۲ D0300-2 [۲]

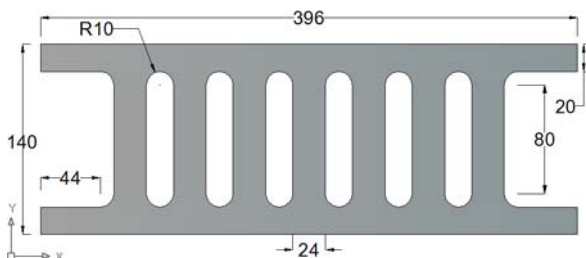


Fig. 3. Dimensional geometry of D0300-2 slit damper [2]

در این مدل سازی، از المان‌های Shell و مطابق شکل (۴)، از روش مشبندی منظم و درجه هندسی خطی به صورت چهار گرهی S4R بهره گرفته شده است.

شکل ۴. مشبندی میراگر ۲ D0300-2 در نرم‌افزار آباکوس

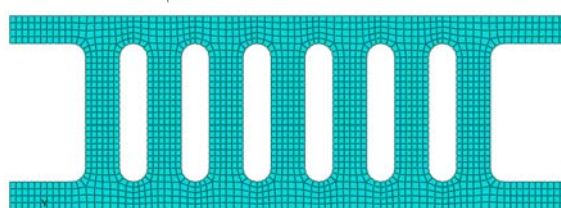


Fig. 4. Meshing of D0300-2 damper in ABAQUS software

مشخصات فولاد مصرفی مطابق جدول (۲) است؛ که در آن مدول الاستیسیته،  $E$  چگالی،  $\rho$  نسبت پواسون،  $\nu_y$  تنش تسلیم،  $\sigma_u$  تنش نهایی و  $E_{lo}$  کرنش نهایی فولاد است.

جدول ۲. مشخصات مکانیکی فولاد: نمونه ۲ D0300-2 [۲]

در روابط (۱) و (۲)،  $\sigma_y$  تنش تسلیم مواد،  $\sigma_u$  تنش نهایی مواد،  $t$  تعداد نوارهای میراگر،  $B$  عرض نوارها است.

اگر مدل تئوری اتصال گیردار مجهز به میراگر شکافدار فولادی مطابق با شکل (۲) در نظر گرفته شود:

شکل ۲. مدل تئوری اتصال میراگر شکافدار فولادی

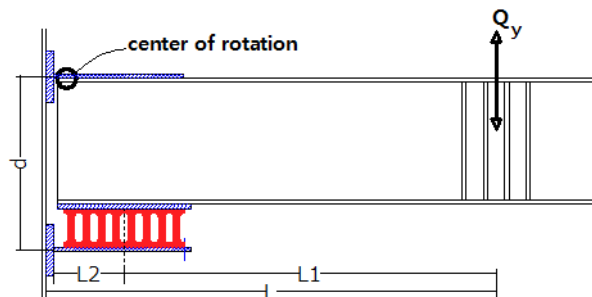


Fig. 2. Analytical model of steel slit damper connection

سختی میراگر شکافدار فولادی ( $K_d$ )، از رابطه (۳) قابل محاسبه خواهد بود:

$$K_d = \frac{P_y}{\delta_y} \quad (3)$$

همچنین نیروی برشی تیر ( $Q_y$ ) و لنگر در وجه ستون ( $M_y$ ) در حالت تسلیم، از روابط (۴) و (۵) و در حالت نهایی، بیشترین نیروی برشی تیر ( $Q_u$ ) و بیشترین لنگر در وجه ستون ( $M_u$ )، از روابط (۶) و (۷) محاسبه می‌شود [۴].

$$Q_y = \frac{P_y d}{L_1} \quad (4)$$

$$M_y = Q_y \cdot L = \frac{P_y d L}{L_1} \quad (5)$$

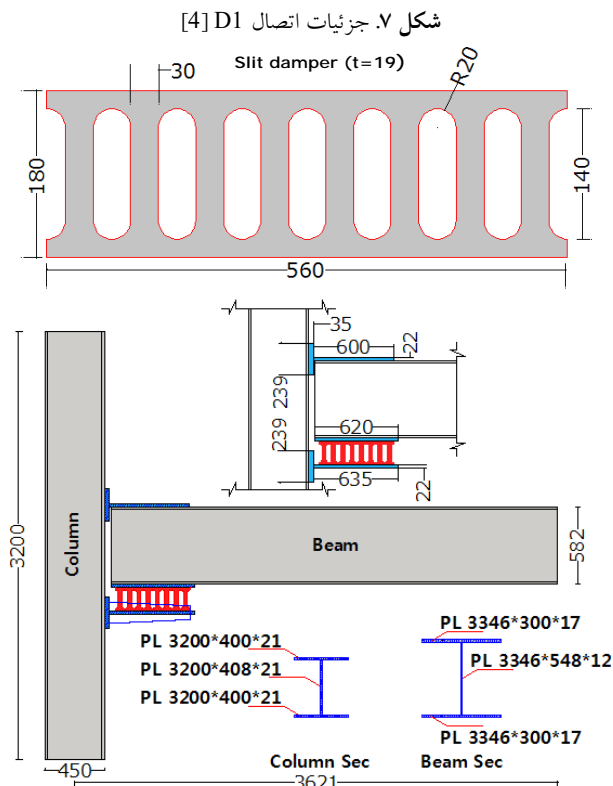
$$Q_u = \frac{P_u d}{L_1} \quad (6)$$

$$M_u = Q_u \cdot L = \frac{P_u d L}{L_1} \quad (7)$$

### ۳. درستی آزمایی مدل اجزای محدود

در این پژوهش، از نرم‌افزار آباکوس برای مدل سازی و درستی آزمایی اجزای محدودی استفاده شده است. به منظور بررسی درستی مدل سازی، نتایج تحلیل حاصل از نرم‌افزار با نتایج مدل آزمایشگاهی میراگر شکافدار ساخته شده توسط لی و همکارانش [۲] و همچنین اتصال خمی مجهز به میراگر شکافدار ساخته شده توسط آه و همکارانش [۴] مقایسه شده

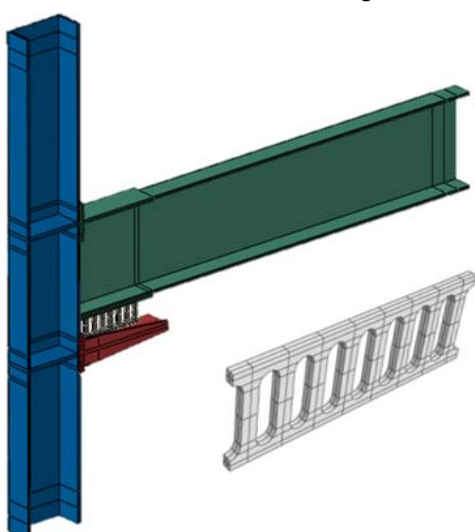
به علت تقارن قاب موردنظر، تنها نیمی از آن به همراه میراگر در نرمافزار مدلسازی شده است (شکل ۸).



شکل ۷. جزئیات اتصال D1 [4]

چگالی فولاد و نسبت پواسون، مشابه جدول (۲) و مابقی مشخصات مکانیکی فولاد در جدول (۳) خلاصه شده است [۴].

شکل ۸ مدل اجزای محدود اتصال D1



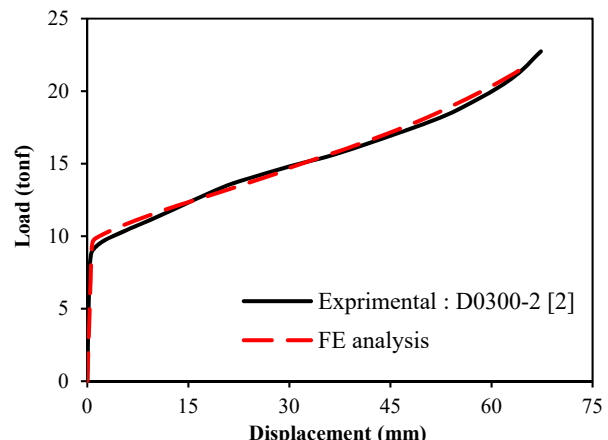
شکل ۸. مدل اجزای محدود اتصال D1

| E<br>(GPa) | $\rho$<br>(kg/m <sup>3</sup> ) | v   | $\sigma_y$<br>(MPa) | $\sigma_u$<br>(MPa) | E <sub>0</sub><br>(%) |
|------------|--------------------------------|-----|---------------------|---------------------|-----------------------|
| 214        | 7850                           | 0.3 | 307                 | 451                 | 28                    |

Table 2. Mechanical properties of steel: specimen D0300-2 [2]

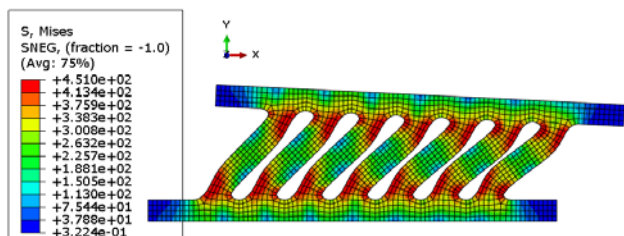
در مدلسازی از اثر وزن چشم‌پوشی شده و مدل تحت اعمال جابه‌جایی افقی به صورت بار افزون در جهت x به اندازه ۶۶ میلی‌متر قرار گرفته است. مقایسه نتایج حاصل از تحلیل اجزای محدود با مرجع [2] در شکل (۵) نشان می‌دهد که نتایج مدل اجزای محدود با نتایج آزمایشگاهی همپوشی بسیار خوبی دارد. همچنین، کانتور تنش فون‌میسز مدلسازی در شکل (۶) نشان داده شده است.

شکل ۵. مقایسه منحنی نیرو-جابه‌جایی بین تحلیل اجزای محدود و نمونه آزمایشگاهی D0300-2 [2]



شکل ۵. مقایسه منحنی نیرو-جابه‌جایی بین تحلیل اجزای محدود و نمونه آزمایشگاهی D0300-2 [2]

شکل ۶. کانتور تنش فون‌میسز D0300-2



شکل ۶. کانتور تنش فون‌میسز D0300-2

در این بخش، درستی آزمایی مدلسازی اجزای محدود اتصال D1 مجهر به میراگر شکافدار در مرجع [4] بیان شده است. در شکل (۷)، مشخصات این اتصال نشان داده شده است. برای مدلسازی این اتصال، از المان‌های Solid استفاده شده است و

به منظور شبیه‌سازی شرایط مرزی، مقاصلی برای نگهداری دو انتهای ستون درنظر گرفته شده است. از طرفی در شرایط آزمایشگاهی به منظور جلوگیری از تغییر شکل خارج از صفحه تیر، تکیه‌گاه‌های جانبی در دو طرف تیر قرار داده شده است که با مقید کردن جایه‌جایی سطح خارجی مدل در جهت خارج از صفحه‌ی تیر، همین عمل نتیجه می‌شود. منحنی هیسترزیس لنگر-دوران حاصل از تحلیل عددی و نمونه آزمایشگاهی اتصال D1 در شکل (۱۱) مقایسه شده است. مشاهده می‌شود مدل نرم‌افزاری به خوبی توانسته مقادیر لنگر خمی و دوران را در قسمت الاستیک و پلاستیک پیش‌بینی کند.

شکل ۱۱. مقایسه منحنی هیسترزیس لنگر-دوران اتصال D1 بین نتایج تحلیل اجزای محدود و آزمایشگاهی

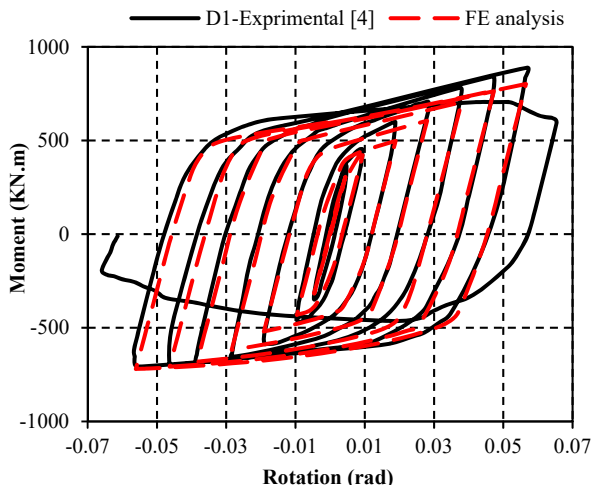
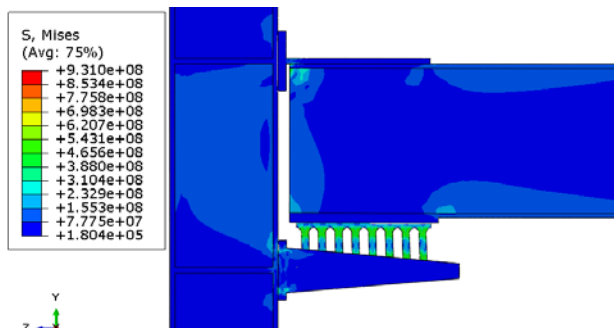


Fig. 11. Comparison of hysteretic moment-rotation curves of D1 connection between FE analysis and experimental results

همچنین کانتور تنش فون‌میسز اتصال در شکل (۱۲) حاکی از تمرکز تنش در میراگر شکافدار است.

شکل ۱۲. کانتور تنش فون‌میسز اتصال D1



مطابق شکل (۹)، چگونگی مشبندی در نرم‌افزار آباکوس برای تمامی قطعات اتصال از نوع Structured و منظم است. برای تمامی قطعات، از المان‌های Solid و نوع شبکه ۲۰ گرهی C3D20 درجه دو استفاده شده است.

جدول ۳. مشخصات مکانیکی فولاد اتصال D1 [4]

| Test specimen | $\sigma_y$<br>(Mpa) | $\sigma_u$<br>(Mpa) | Elo<br>(%) | E<br>(GPa) |
|---------------|---------------------|---------------------|------------|------------|
| Beam          | Flange              | 318                 | 480        | 30         |
|               | Web                 | 339                 | 488        | 27         |
| Column        | Flange              | 378                 | 551        | 24         |
|               | Web                 | 395                 | 554        | 27         |
| Split         | Flange              | 386                 | 573        | 24         |
|               | Web                 | 388                 | 577        | 25         |
| Slit plate    | 288                 | 464                 | 30         |            |

Table. 3. Mechanical properties of steel of D1 connection [4]

شکل ۹. مشبندی اتصال D1 در نرم‌افزار آباکوس

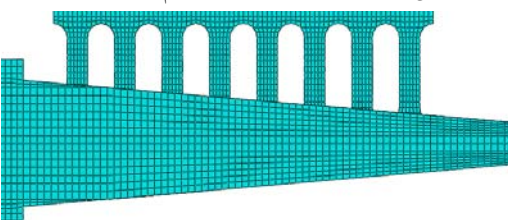


Fig. 9. Meshing of D1 conenction in ABAQUS software

در بارگذاری اتصال D1 در نرم‌افزار، از اثر وزن صرف نظر شده و بارگذاری چرخه‌ای، طبق دستورالعمل FEMA-350 [۱۴]، به صورت تغییر مکان به انتهای تیر در راستای Y مطابق شکل (۱۰) اعمال شده است.

شکل ۱۰. تاریخچه بارگذاری

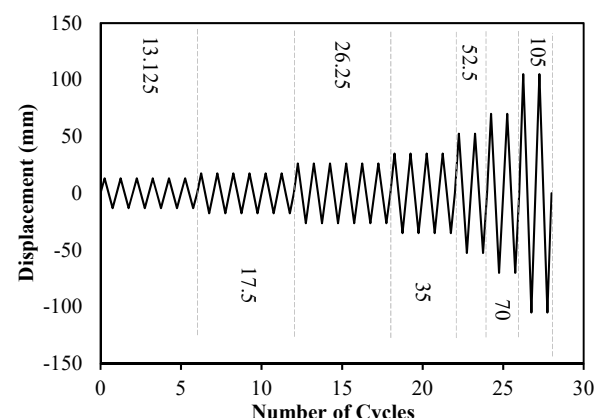


Fig. 10. Loading history

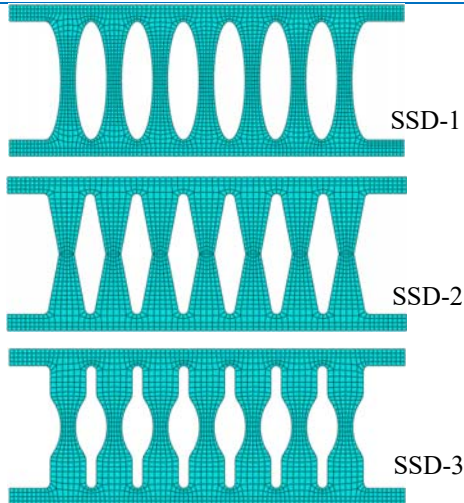


Fig. 14. Meshing of the proposed slit dampers

#### ۴-۱- مقایسه عملکرد میراگر شکافدار-3 SSD-3 با میراگر D0300-2

در این بخش عملکرد میراگرهای پیشنهادی با نمونه ۲ D0300-2 مقایسه شده است. لازم به ذکر است که شکل های پیشنهادی، حاصل تعداد زیادی سعی و خطأ و مقایسه عملکرد آنها است. در نهایت نمودار نیرو-جایه جایی نمونه های پیشنهاد شده با نمونه ۲ D0300-2 در شکل (۱۵)، مقایسه شده است.

شکل ۱۵. مقایسه عملکرد میراگرهای شکافدار پیشنهادی با نمونه مرجع [۲]

تحت بار افزون

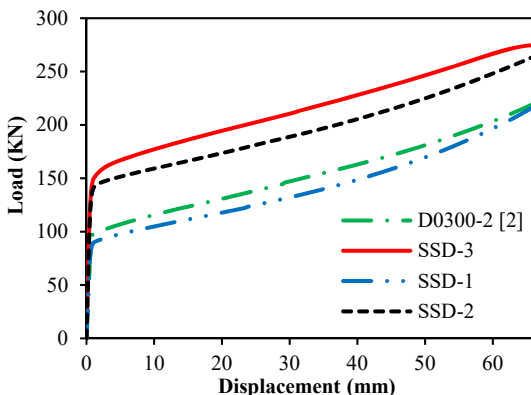


Fig. 15. Comparison of the performance of the proposed slit dampers with specimen [2] under monotonic loading

شکل (۱۵) نشان می دهد که عملکرد نمونه های ۲ SSD و SSD-3 بسیار مناسب تر از نمونه ۲ D0300 است همچنین کانتور های تنش فون میسز و چگونگی توزیع تنش ها نمونه های پیشنهادی در شکل (۱۶) نشان داده شده اند.

شکل ۱۶. کانتور تنش فون میسز میراگرهای شکافدار پیشنهادی

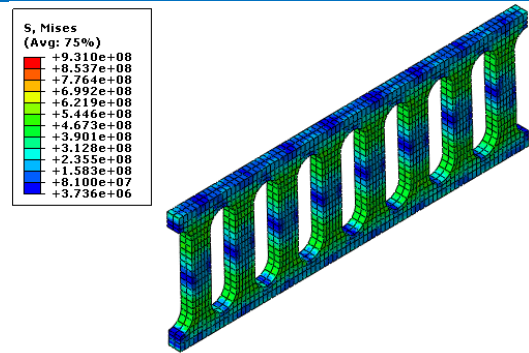


Fig. 12. Von Mises stress contour of D1 connection

#### ۴. میراگرهای شکافدار فولادی پیشنهادی

در این بخش، سه نمونه میراگر شکافدار با تفاوت در شکل هندسی نوارها مطابق شکل (۱۳) ارائه شده است به شکلی که وزن تمامی نمونه های پیشنهادی با وزن نمونه ۲ D0300 کاملاً یکسان و برابر ۳۰۶۲ کیلوگرم است. همچنین ضخامت نمونه ها در جدول (۴) نشان داده شده است.

شکل ۱۳. جزئیات میراگرهای شکافدار پیشنهادی

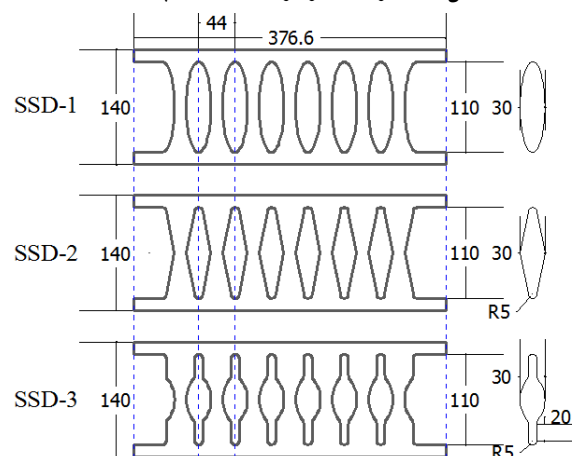


Fig. 13. Details of the proposed slit dampers

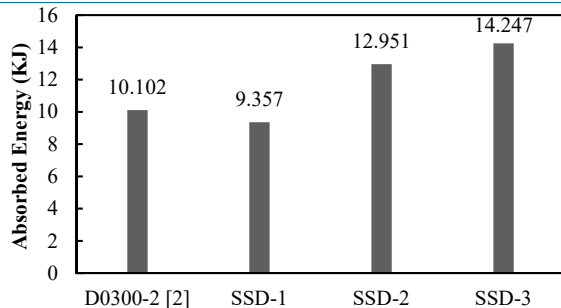
جدول ۴. ضخامت میراگرهای شکافدار پیشنهادی

| Slit Damper    | SSD-1 | SSD-2 | SSD-3 |
|----------------|-------|-------|-------|
| Thickness (mm) | 14.39 | 12.73 | 12.00 |

Table. 4. Thickness of the proposed slit dampers

مشخصات فولاد نمونه ها و تمامی روند مدل سازی و بارگذاری، کاملاً مشابه آنچه در بخش ۱-۳ بیان شده می باشد. مشبندی منظم نمونه ها در شکل (۱۴) نشان داده شده است.

شکل ۱۴. مشبندی میراگرهای شکافدار پیشنهادی



**Fig. 17.** Assesment of energy absorption capacity of the proposed slit dampers

از طرفی مطابق جدول (۵)، بار حدتسیم میراگر حدود ۸۰ درصد، بار نهایی آن حدود ۲۵ درصد و سختی آن حدود ۸۳ درصد نسبت به نمونه ۲ [۲]، بهبود یافته است.

جدول ۵. خلاصه نتایج تحلیل اجزای محدود نمونه‌های پیشنهادی

| Specimen   | P <sub>y</sub> (kN) | P <sub>max</sub> (kN) | δ <sub>y</sub> (mm) | K <sub>d</sub> (kN/mm) |
|------------|---------------------|-----------------------|---------------------|------------------------|
| SSD-3      | 159.69              | 274.58                | 0.63                | 253.47                 |
| SSD-2      | 130.86              | 263.87                | 0.57                | 229.58                 |
| SSD-1      | 68.39               | 216.70                | 0.46                | 148.67                 |
| D0300-2[2] | 88.50               | 219.73                | 0.64                | 138.28                 |

**Table. 5.** The summary of finite element results of the proposed slit dampers

#### ۴- مقایسه عملکرد میراگر SSD-3 با میراگر بهینه شده

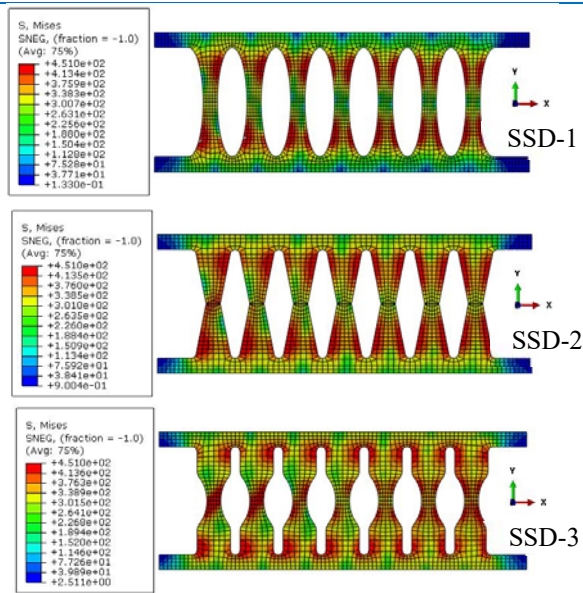
در این بخش، عملکرد میراگر پیشنهادی SSD-3 با میراگر TSSD ارائه شده توسط قبرایی و همکارانش [۵] (که با استفاده از بهینه‌سازی بدست آمده است) مقایسه شده است. برای ارزیابی عملکرد آن دو میراگر، طول و عرض میراگر پیشنهادی SSD-3 برابر با میراگر TSSD انتخاب شده است و ابعاد آن در شکل (۱۸) نمایش داده شده است. (ابعاد بر حسب میلی‌متر است). در شایان توجه است که وزن دو میراگر تقریباً یکسان است. در جدول (۶)، وزن و ضخامت میراگرها بیان شده است.

جدول ۶. وزن و ضخامت میراگرهای SSD-3 و TSSD

| Slit Damper | Weight (Kg) | Thickness (mm) |
|-------------|-------------|----------------|
| SSD-3       | 0.6845      | 9              |
| TSSD        | 0.6922      | 12             |

**Table. 6.** Weight and thickness of SSD-3 and TSSD dampers

شکل ۱۸. جزئیات میراگرهای SSD-3 و TSSD

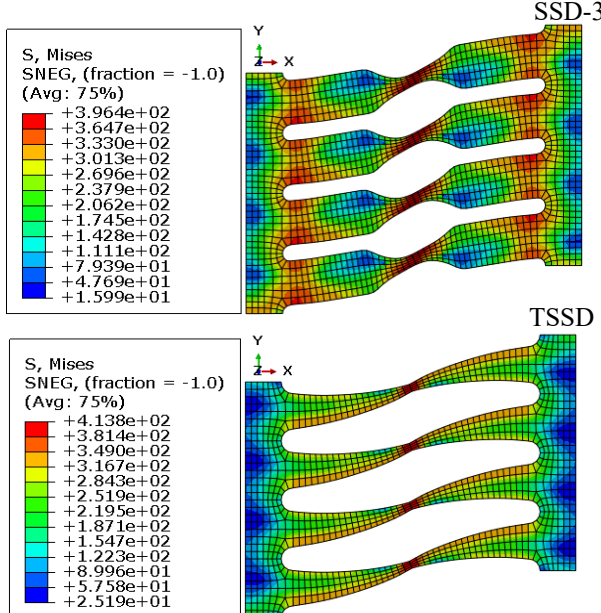


**Fig. 16.** Von Mises stress contour of the proposed slit dampers مقایسه کانتور تنش در شکل (۱۶) با شکل (۶) نشان می‌دهد که به محض قرار گرفتن میراگر شکافدار تحت برش، ابتدا قسمت میانی نوارهای آن، مانند تیر پیوند در بادبندهای واگرا، عمل کرده و تغییرشکل پلاستیک را در خود جذب می‌کند و بعد از آن گوشه‌های بالایی نوارها وارد عمل شده و کرنش‌های پلاستیک را جذب می‌کنند. علاوه بر این، فاصله کم دو قسمت صاف بالایی و پایینی نوارها، باعث بهبود مقاومت این میراگر شده است. از طرفی، قسمت مدور میانی نوارها مانند فیوز عمل کرده و شکل پذیری این میراگر را فراهم می‌کند. سپس تنش‌های بیشینه به قسمت صاف بالایی و پایینی نوارهای میراگر رفته و چون سطح بیشتری برای پخش و توزیع تنش دارند از این‌رو مقاومت افزایش می‌یابد. سطح زیر منحنی نیرو- جابه‌جایی در شکل (۱۵)، نشان‌دهنده انرژی جذب شده است. پس مقایسه انرژی جذب شده نمونه‌ها در شکل (۱۷) نشان داده شده است. نتایج شکل (۱۷) نشان می‌دهد میراگر پیشنهادی SSD-3 می‌تواند ۴۱ درصد انرژی بیشتری نسبت به نمونه ۲ D0300-2 [۲] را مستهلک نماید.

شکل ۱۷. ارزیابی ظرفیت جذب انرژی میراگرهای پیشنهادی

**Table 7.** The summary of analytical results of SSD-3 and TSSD specimens

نتایج جدول (۷)، بیانگر افزایش ۲/۲۳ برابری سختی نمونه SSD-3، بهبود ۴۵ درصدی مقاومت تسلیم و ۱۶ درصدی مقاومت نهایی آن است. کانتور تنش فونمیسز نمونه‌ها در شکل (۲۰)، نشان‌گر جذب تنش بیشتر توسط میراگر SSD-3 است.

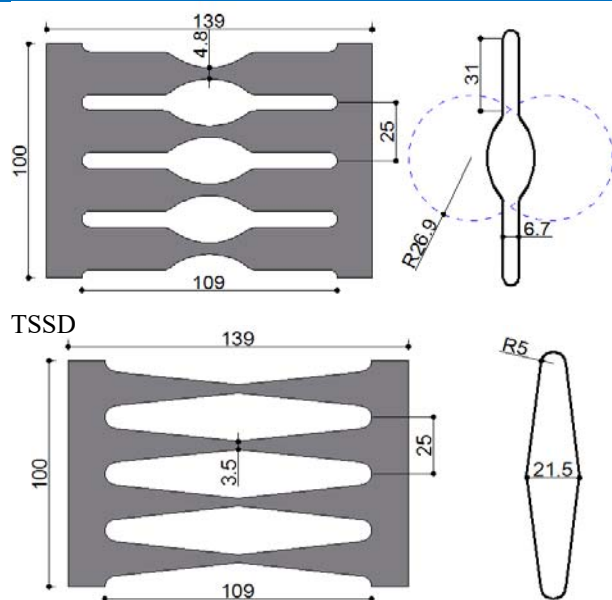
**شکل ۲۰.** کانتور تنش فونمیسز میراگرهای SSD-3 و TSSD**Fig. 20.** Von Mises stress contour of SSD-3 and TSSD dampers

## ۵. ارزیابی عملکرد اتصال قاب خمی مجهز به میراگر شکافدار پیشنهادی

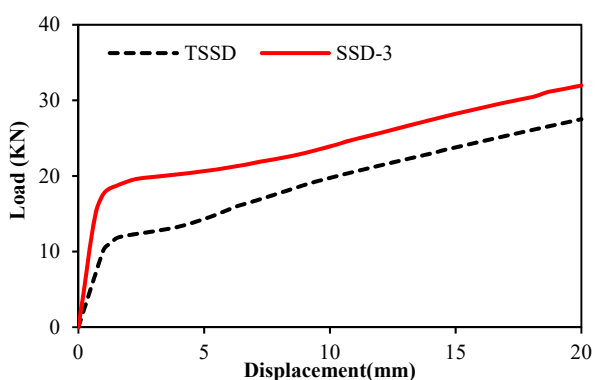
در این بخش، عملکرد اتصال قاب خمی فولادی مرجع [۴] (که در بخش ۳-۲ بیان شد) مجهز به میراگر شکافدار پیشنهادی SSD-3 بررسی شده است. لازم ذکر است که در این بخش، نام میراگر پیشنهادی AD فرض شده است. مشخصات هندسی میراگر AD در شکل (۲۱) نشان داده شده است (ابعاد بر حسب میلی‌متر است). روند مدل‌سازی و بارگذاری نیز کاملاً مشابه بخش ۳-۲ است. شایان توجه است که در اتصال خمی، دو ردیف از این میراگرهای استفاده شده است و ابعاد میراگر پیشنهادی طوری انتخاب شده است که وزن دو ردیف از میراگرهای در اتصال طبق جدول (۸)، تقریباً یکسان باشد.

**جدول ۸** وزن میراگرهای شکافدار AD و D1

| Slit Damper | Weight (Kg) | Thickness (mm) |
|-------------|-------------|----------------|
| AD          | 17.32       | 15.5           |

**Fig. 18.** Detail of SSD-3 and TSSD [2] dampers

مشخصات فولاد دو نمونه مطابق جدول (۲) است. مدل، تحت جایه‌جایی افقی به صورت بار افزون در جهت Y، به اندازه ۲۰ میلی‌متر قرارگرفته است. از المان‌های Shell چهار گرهی برای مدل‌سازی استفاده شده است. نتایج تحلیل اجزای محدود نمونه‌ها در شکل (۱۹)، مقایسه شده است.

**شکل ۱۹.** مقایسه عملکرد میراگرهای SSD-3 و TSSD**Fig. 19.** Comparison of performance of SSD-3 and TSSD

سطح زیر دو منحنی نیرو-جایه‌جایی، نشان‌دهنده جذب ۲۶/۹ درصدی انرژی بیشتر، توسط میراگر شکافدار SSD-3 است. همچنین سایر نتایج تحلیل در جدول (۷) ذکر شده است.

**جدول ۷.** خلاصه نتایج تحلیل عددی نمونه‌های SSD-3 و TSSD

| Specimen | P <sub>y</sub> (kN) | P <sub>max</sub> (kN) | δ <sub>y</sub> (mm) | K <sub>d</sub> (kN/mm) |
|----------|---------------------|-----------------------|---------------------|------------------------|
| SSD-3    | 17.34               | 31.97                 | 0.75                | 23.12                  |
| TSSD     | 11.98               | 27.52                 | 1.16                | 10.33                  |

داده است که در آن  $E_D$  انرژی مستهلك شده،  $E_{SO}$  انرژی الاستیک ذخیره شده و  $\xi_{eq}$  نسب میرایی معادل می باشد که از رابطه (۸) محاسبه می شود [۳]:

$$\xi_{eq} = \frac{1}{4\pi} \frac{E_D}{E_{SO}} \quad (8)$$

شکل ۲۳. انرژی مستهلك شده در یک چرخه [۳]

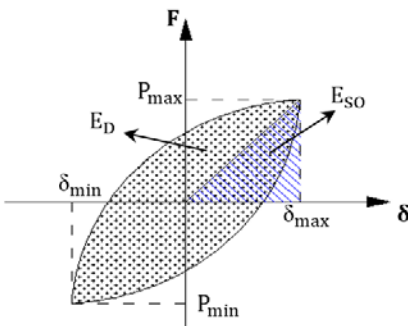


Fig. 23. The dissipated energies in a single cycle [3]

بنابراین مطابق با شکل های (۲۲ و ۲۳)، دیگر مشخصات اتصال محاسبه و در جدول (۹) بیان شده است.

جدول ۹. مقایسه نتایج اتصالات AD و D1

| Specime | $M_y$<br>(KN.m) | $M_{max}$<br>(KN.m) | $E_D$<br>(KJ) | $E_{SO}$<br>(KJ) | $\xi_{eq}$ |
|---------|-----------------|---------------------|---------------|------------------|------------|
| AD      | 755             | 1255                | 124.28        | 36.30            | 0.27       |
| D1      | 464             | 820                 | 81.85         | 22.90            | 0.28       |

Table. 9. Comparison of results of AD and D1 connections

با بررسی نتایج جدول (۹)، می توان دریافت که با وزن و ویژگی های مصالح یکسان، اتصال مجهر به میراگر AD از قابلیت ۵۱/۸ درصد جذب انرژی بیشتری برخوردار است. همچنین میزان تحمل لنگر در اتصال مجهر به AD نسبت به اتصال مجهر به D1 در حالت تسليم ( $M_y$ )، حدود ۶۳ درصد و در حالت بیشینه ( $M_{max}$ )، حدود ۵۳ درصد افزایش داشته است و میرایی معادل در هر دو اتصال تقریباً یکسان است. با اتصال نقاط اوج منحنی هیسترزیس لنگر-دوران در هر دوره بارگذاری و تبدیل آن به منحنی نیرو-جایه جایی، منحنی اسکلتون اتصال مطابق شکل (۲۴) به دست می آید. مطابق با شکل (۲۴)، سختی، جایه جایی تسليم، نیروی حد تسليم و نیروی بیشینه در دو اتصال محاسبه و در جدول (۱۰) نمایش داده شده است.

جدول ۱۰. خلاصه نتایج منحنی اسکلتون

| Specimen | $P_y$<br>(KN) | $P_{max}$<br>(KN) | $\delta_y$<br>(m) | $K_d$<br>(KN/m) |
|----------|---------------|-------------------|-------------------|-----------------|
| AD       | 215.71        | 358.57            | 0.03              | 7190            |
| D1       | 132.57        | 234.28            | 0.02              | 6628            |

|       |       |    |
|-------|-------|----|
| D1[4] | 17.82 | 19 |
|-------|-------|----|

Table. 8. Weight of AD and D1slit dampers

شکل ۲۱. جزئیات هندسی میراگر شکافدار پیشنهادی

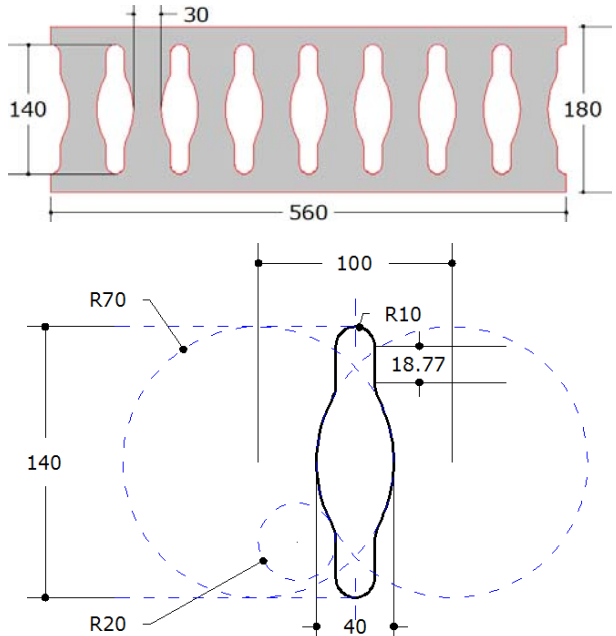


Fig. 21. Detail of the proposed AD slit damper

مقایسه منحنی هیسترزیس لنگر-دوران اتصال قاب خمسی مجهر به میراگر شکافدار فولادی پیشنهادی AD و D1 [4] تحت اثر بار چرخه ای در شکل (۲۲) ترسیم شده است.

شکل ۲۲. مقایسه منحنی هیسترزیس لنگر-دوران بین نمونه های AD و D1

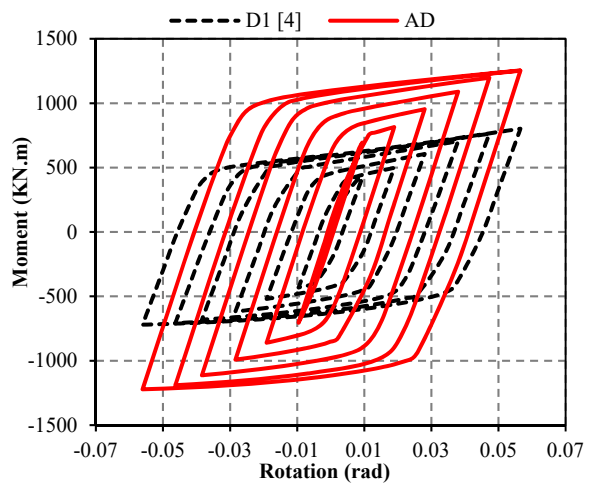


Fig. 22. Comparsion of hysteretic moment-rotation curves between specimens AD and D1

مطابق شکل (۲۲)، تقارن منحنی هیسترزیس نشانگر یکسان بودن رفتار اتصال مجهر به میراگر AD در بارگذاری چرخه ای است و افزایش چشمگیر مقاومت اتصال مشهود است. در شکل (۲۳)، تصویر شماتیک یک چرخه از منحنی هیسترزیس را نشان

همچنین کانتورهای کرنش پلاستیک معادل (PEEQ) و نواحی تسلیم شده (AC YIELD) میراگرها در شکل های ۲۶ و ۲۷ آمده است.

شکل ۲۶. کانتور کرنش معادل پلاستیک میراگرهاي D1 و AD

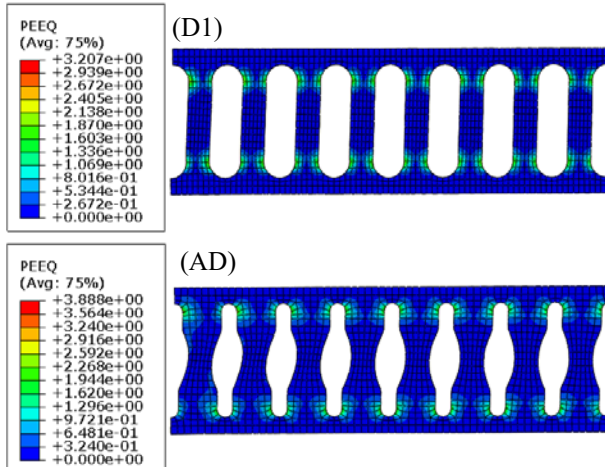


Fig. 26. Equivalent plastic strain contour of D1 and AD dampers

بررسی شکل های (۲۶ و ۲۷) نشان می دهد که در میراگر اتصال AD قسمت های بیشتری وارد مرحله پلاستیک شده و سهم جذب انرژی در قسمت های میانی نوارها نسبت به نمونه D1 بیشتر است. علاوه بر این، بیشینه مقادیر کرنش های معادل پلاستیک نیز نسبت به نمونه D1، تقریباً ۲۱ درصد افزایش یافته که نشان دهنده تمرکز خرابی ها در میراگر پیشنهادی است.

شکل ۲۷. کانتور کرنش نواحی تسلیم میراگرهاي D1 و AD

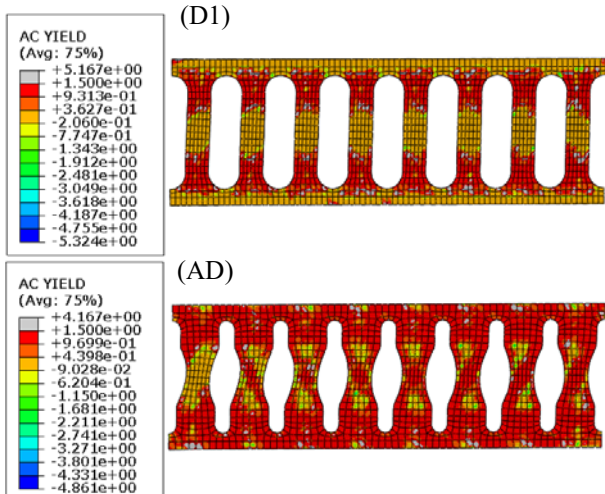


Fig. 27. Contour of yield points of parts in D1 and AD dampers

از دیگر نمونه های آزمایش شده توسط او و همکارانش [۴]، اتصال مستقیم جوشی تیر به ستون به نام W است. نقص این اتصال که اجرای آن در سازه ها نیز رایج است، کمانش موضعی

Table 10. The summary of skeleton curve results

شکل ۲۴. مقایسه منحنی اسکلتون نمونه های D1 و

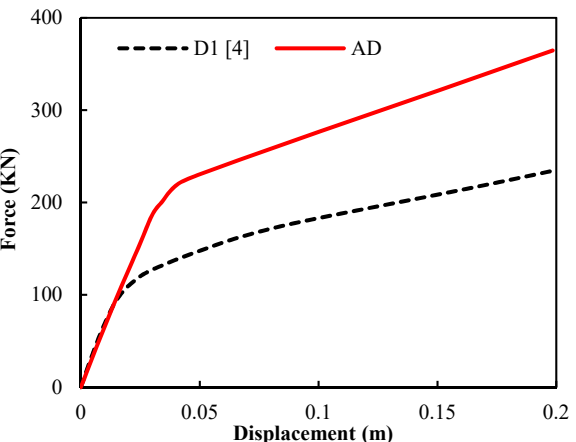


Fig. 24. Comparison of Skeleton curve of specimens AD and D1

مطابق جدول (۱۰)، مقاومت تسلیم و مقاومت نهایی اتصال مجهر به میراگر AD به ترتیب ۶۳ درصد و ۵۳ درصد نسبت به اتصال مجهر به میراگر D1 افزایش یافته است که بیانگر عملکرد بهتر میراگر AD نسبت به میراگر D1 است. کانتور تنش فون میسز اتصال مجهر به میراگر AD در شکل (۲۵) نمایش داده شده است. مقایسه شکل (۲۵) با شکل (۱۲) بیانگر این است که اتصال AD، جذب تنش بیشتری داشته است.

شکل ۲۵. کانتور تنش فون میسز نمونه AD

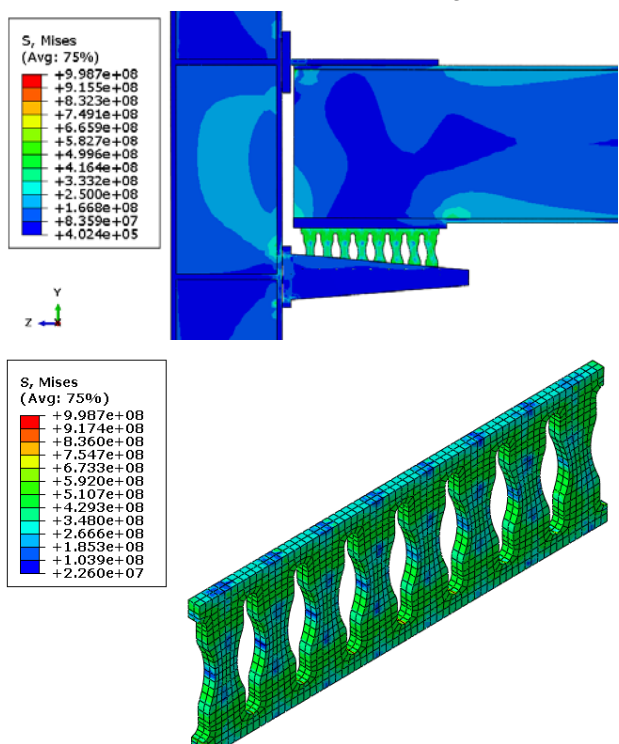


Fig. 25. Von Mises stress contour of AD specimen

۱. کاهش عرض شکاف‌های میراگر، در دو انتهای شکاف و عریض شدن قسمت میانی نوارهای بین شکاف‌ها، عملکرد بسیار بهتری را به همراه داشته است. این برتری هم از لحاظ افزایش مقاومت و هم از نظر افزایش قابلیت اتلاف انرژی قابل بحث است.

۲. میراگر شکافدار پیشنهادی، تحت برش خالص با وزن یکسان نسبت به نمونه‌ی رایج آن، ۴۱ درصد جذب انرژی بیشتر داشته و استفاده از آن در اتصال گیردار تیر به ستون، تحت بارگذاری چرخه‌ای، باعث ۵۱/۸ درصد اتلاف انرژی بیشتر شده است.

۳. کاهش عرض میانی نوارهای میراگر شکافدار، موجب کاهش مقادیر تنش‌های فونمیسز در اعضاء اصلی سازه‌ای مثل تیر و ستون و سبب افزایش تمرکز تنش در خود میراگر شده است. علت این امر این است که برخلاف نمونه رایج این میراگر، علاوه بر ابتداء و انتهای شکاف، قسمت‌های میانی نوارها نیز از همان ابتدای بارگذاری در جذب تغییرشکل‌های پلاستیک سهیم هستند.

۴. توزیع کرنش معادل پلاستیک در میراگر پیشنهادی، نشان‌دهنده مصون ماندن اعضای سازه‌ای (تیر و ستون) از تغییرشکل‌های پلاستیک است؛ که این ویژگی سبب می‌شود تا بتوان پس از اتمام زلزله، میراگر آسیب‌دیده را تعمیر و یا تعویض نمود.

۵. بیشترین مقدار نیرو و لنگر اتصال در منحنی‌های هیسترزیس با ارائه هندسه خاص شکاف‌ها در میراگر شکافدار فولادی به صورت قابل ملاحظه‌ای افزایش یافته است.

۶. استفاده از این میراگر پیشنهادی در اتصال قاب خمسی می‌تواند جایگزین بسیار مناسبی برای اتصال جوشی رایج تیر به ستون شود؛ زیرا استفاده این شکل هندسی میراگر شکافدار فولادی، علاوه بر جذب بیشتر انرژی، از کمانش موضعی بال تیر حین زلزله نیز جلوگیری می‌کند.

## ۷. مراجع

- [1] Wada A., Huang Y.H., Yamada T., Ono Y., Sugiyama S., Baba M. & Miyabara T. 1997 Actual size and real time speed tests for hysteretic steel damper. *Proceedings of Stessa*, 97, 778-785.
- [2] Lee M. H., Oh S. H., Huh C., Oh Y. S., Yoon M. H. & Moon T. S. 2002 Ultimate energy absorption capacity of steel plate slit dampers

بال تیر پس از تحمل چندین چرخه‌ی بارگذاری است. مقایسه نمودار لنگر-دوران اتصال جوشی و اتصال مجهز میراگر پیشنهادی AD در شکل (۲۸) نشان داده شده است.

شکل ۲۸. مقایسه منحنی هیسترزیس لنگر-دوران بین نمونه‌های AD و W

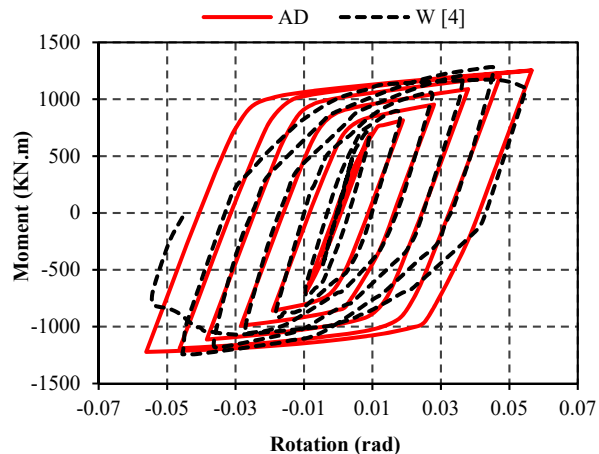


Fig. 28. Comparsion of hysteretic moment-rotation curves between AD and W specimens

مطابق شکل (۲۸) و با بررسی نمودار لنگر-دوران دو اتصال، نتیجه می‌شود اتصال مجهز به AD از جذب انرژی بیشتری برخوردار است. همچنین از نشانه‌های بارز در این منحنی، پایداری و ثبات سختی اتصال AD در چرخه‌های متوالی است. بنابراین میراگر AD می‌تواند جایگزین مناسبی برای اتصال جوشی رایج باشد و می‌تواند از کمانش موضعی بال‌ها جلوگیری کند؛ زیرا خرابی‌ها تنها در میراگر متمرکز شده و آسیبی به تیر و ستون وارد نمی‌شود. همچنین، پس از اتمام زلزله می‌توان میراگری جدید را جایگزین آن نمود.

## ۶. نتیجه‌گیری

در این تحقیق، به منظور رفع مشکل ضعف اتصال تیر به ستون در قاب‌های خمسی فولادی در برابر زلزله، شکل هندسی جدیدی برای میراگرهای شکافدار فولادی پیشنهاد شد. با توجه به تغییر پارامترهای هندسی مؤثر در این میراگر، تأثیر آن‌ها در توزیع تنش‌های فونمیسز، کرنش‌های معادل پلاستیک، منحنی‌های نیرو-جایه‌جایی، لنگر-دوران و همچنین میزان استهلاک انرژی، بررسی شده است. خلاصه‌ای از نتایج حاصل شده از این پژوهش، به شرح زیر است:

- [9] Saffari H., Hedayat A.A. & Poorsadeghi Nejad M. 2013 Post-Northridge connections with slit dampers to enhance strength and ductility. *Journal of Constructional Steel Research*, **80**, 138-152.
- [10] Hedayat A.A. 2015 Prediction of the force displacement capacity boundary of an unbuckled steel slit damper. *Journal of Constructional Steel Research*, **114**, 30-50.
- [11] Tagawa H., Yamanishi T., Takaki A. & Chan R. 2016 Cyclic behavior of seesaw energy dissipation system with steel slit dampers. *Journal of Constructional Steel Research*, **117**, 24-34.
- [12] Ahmadie Amiri H., Pournamazian Najafabadi E. & Estekanchi H.E. 2018 Experimental and analytical study of Block Slit Damper. *Journal of Constructional Steel Research*, **141**, 167-178.
- [13] Bayat K. & Shekastehband B. 2019 Seismic performance of beam to column connections with T-shaped slit dampers. *Thin-Walled Structures*, **141**, 28-46.
- [14] FEMA-350. 2000 Recommended seismic design criteria for new steel moment frame buildings. *SAC Joint Venture*.
- subjected to shear force. *Steel Structures*, **2**(2), 71-79.
- [3] Chan R. & Albermani F. 2008 Experimental study of steel slit damper for passive energy dissipation. *Engineering Structures*, **30**(4), 1058-1066.
- [4] Oh S.H., Kim Y.J. & Ryu H.S. 2009 Seismic performance of steel structures with slit dampers. *Engineering Structures*, **31**(9), 1997-2008.
- [5] Ghabraie K., Chan R., Huang X. & Xie Y.M. 2010 Shape optimization of metallic yielding devices for passive mitigation of seismic energy. *Engineering Structures*, **32**(8), 2258-2267.
- [6] Khoshnoodian F. & Kiani M. 2010 Seismic performance of steel slit dampers in steel structurals with special moment frames. *First national conference on stracture*, earthquake and geotechnics, Babolsar (In Persian).
- [7] Koken A. & Koroglu M.A. 2011 Steel plate slit damper using on steel frames. *Journal of New World Sciences Academy, Engineering Sciences*, **6**, 1093-1101.
- [8] Karavasilis T.L., Kerawala, S. & Hale E. 2012 Hysteretic model for steel energy dissipation devices and evaluation of a minimal-damage seismic design approach for steel buildings. *Journal of Constructional Steel Research*, **70**, 358-367.

# Seismic performance enhancement of rigid beam to column moment connection using modified steel slit damper

J. Hassanzadeh<sup>1</sup>, S.R. Sarafrazi<sup>2</sup>, M. Khatibinia<sup>3\*</sup>

1. M.Sc. Graduated in Structural Engineering, University of Birjand
2. Assistant Professor, Department of Civil Engineering, University of Birjand
3. Associate Professor, Department of Civil Engineering, University of Birjand

\*m.khatibinia@birjand.ac.ir

## Abstract

The high ductile of steel moment-resisting frames (SMRFs) during earthquakes has been challenged due to the brittle fractures of their welded (or rigid) beam to column connections. Consequently, SMRFs have suffered severe damages and have produced collapse in main structural members (such as beams and columns). During previous years, energy dissipative devices in the connections of beam to column of SMRFs have been developed by some researchers to resolve the ductility problem in rigid beam to column connections of SMRFs. Slit steel damper (SSD) as one of these devices contains a plate or a standard section with a number of slits in its web. The damper can dissipate the seismic input energy with the inelastic deformation absorption and also prevent seismic energy transmission to the main structural members (such as beam and column). Due to the uniform strut width of SSD, the stress concentration at the end parts of the damper struts is produced and the unbalanced distribution of von-Mises stresses along the struts is shown. Furthermore, slit dampers are commonly fractured in the end parts of its struts. The low participation of the middle parts of struts in the energy dissipation is caused. Hence, finding the best shape of slits has been attracted by researchers. In this study, a new geometry shape of the SSD slits was proposed in order to improve the performance of the rigid beam to column connection of steel structures subjected to earthquake loading. For investigating the performance of the proposed damper, the behavior of a rigid connection with the common and proposed SSD was assessed subjected to monotonic and cyclic loads in ABAQUS software. The proposed SSD has the same weight in comparison with that of the common SSD. The results of the assessment were shown that in the proposed SSD reducing the width of damper slits in two its ends and increasing its middle parts improved its seismic performance in comparison with that of the common SSD. The proposed damper in comparison with common one subjected to shear load can effectively contribute to about 41% of the total dissipated energy. Furthermore, using the proposed damper in a rigid beam to column connection subjected to cyclic loading can effectively contribute to about 51.8% of the total dissipated energy. The performance of the proposed SSD shown that first, the middle part of strip treats as fuse and the stress concentration at the end parts of the damper struts is not produced. The distribution of stress is caused that the suitable ductility can provide in the connection. Then, the maximum stresses transfer to the top and bottom of strips. Due to the distribution of maximum stresses in more area of SSD, the strength of the proposed damper increases. Therefore, notwithstanding a large number of loading cycles until the failure in this proposed damper, it can be used instead of welded connection in SMRFs. In the future studies, the best geometry shape of the SSD slits subjected to cyclic loading can be found in the framework of an optimization problem.

**Keyword:** Slit steel damper, Geometry shape, Slit, Dissipation of energy, Rigid connection.